

造波抵抗補正問題(附圖)

(波の無一特異点分布と極小値問題(つづき))

目次

1. 結論
2. 2次元問題
3. 重ね船側面
4. 直線形圧力分布
5. 矩形面圧力分布
6. 3次元船舶型
7. 極小値問題
8. 附録
9. 結論

別紙正解

防衛大学校 機械系

昭和35年 6月

1. 緒言

与えられた排水量に対して造はれが極小となる船型を求める問題は、従来 G. Weinblum 等によつて試みられて來たが、此の問題には或る種の不安定性が伴う¹⁾。車は著者等も経験した。²⁾

此の事實は極小抵抗船型の存在を疑わせるに充分である。一方最近乾舷機が提唱されてい³⁾る様に waveless ship が存在するとしても、極小抵抗船型は即ち抵抗の無い船型となつて、上述の様な不安定性は予想される所である。實際 2 次元問題に関しては waveless pontoon として既に Lord Kelvin, Prof. Havelock が実例について論じてゐる。

そこで先づ 2 次元問題について其等の例を検討し、且つ少しき一般化して取扱つて、2 次元問題を取り上げて、計算の点を論じて見る事にする。そして最後に極小問題を検討して見る事にする。

2. 2 次元問題

Lord Kelvin は 2 次元の圧力分布系による造波現象の研究に於て二つの系が丁度その速度の自由波の半波長の奇数倍となる時に後續波が消える事を述べてゐる。⁴⁾

さて 2 次元の圧力分布を考えよう。造波抵抗は⁵⁾

$$R = \frac{K_0^2}{\rho g} |\bar{F}(K_0)|^2, \quad \dots \dots \dots \quad (2.1)$$

$K_0 = g/U^2$, g は重力常数, U は速度, ρ は水の密度、速度は特に揚程 l 在り、配り單位速度とする。又

$$\bar{F}(K) = \int_{-\infty}^{\infty} p(x) e^{-ikx} dx, \quad \dots \dots \dots \quad (2.2)$$

今 $p(x)$ が正島 $2l$ だけ離れた 2 つの系から成立つてみるとすれば、上式から

$$K(K_0) = \int_{-\infty}^{\infty} [p(x+l) + p(x-l)] e^{-ikx} dx = 2 \cos kl \bar{F}(K), \quad \dots \dots \quad (2.3)$$

よつて

$$|K(K_0)|^2 = 4 \cos^2 kl |\bar{F}(K_0)|^2, \quad \dots \dots \quad (2.4)$$

となるから、 \bar{F} の如何に拘らず

$$kl = (n + \frac{1}{2})\pi, \quad n = 0, 1, 2, \dots \quad (2.5)$$

ならば常に抵抗は消える。Kelvin は圧力分布として無限に広く分布した型を取り扱つてゐるが、上式から見れば此の種な制限は必要なく集中分布でもよい談である。

又一般に 2 次元対称分布では船首座波の干涉から一定長の

船では抵抗がなくなる速度が存在するから、此の式は一般性において幾分欠ける點に思われる。

さて抵抗が消える場合には(2.1), (2.2)から明らかな様に

$$F(K_0) = \int_{-\infty}^{\infty} P(x) e^{-ik_0 x} dx = 0, \quad (2.6)$$

“あれば”充份である。

此の式を函数空間における直交関係とみなしても問題の解を作り出す事は出来るが、もっと一般的に次の様な函数を考えよう。

$$\frac{d^2 \mu(x)}{dx^2} + k_0^2 \mu(x) = P(x), \quad (2.7)$$

これを振動方程式と見れば上式を満足する解は任意の境界条件の下に容易に求まる。

今は P が前後対称と考えて(2.2)は(2.7)を入めて部分積分すれば

$$F(K) = 2i \left(\frac{d}{dx} \mu(-l) \right) n \sin K l + i K M l \cos K l + (K_0^2 - K^2) \int_{-l}^0 \mu(x) e^{-ikx} dx \quad (2.8)$$

特に $K = K_0$ とおいて $\mu(-l)$ を 0 とおけば

$$F(K_0) = 2i n \sin K_0 l \frac{d\mu(-l)}{dx}, \quad (2.9)$$

となつて(2.6)の条件は(2.7)を満足する μ によって考えれば抵抗はその境界値のみに關係している。此の式で F の消え条件は

$$K_0 l = n\pi, \quad n; \text{整数}; \quad (2.10)$$

$$\text{或いは } \left[\frac{d\mu}{dx} \right]_{x=\pm l} = 0, \quad (2.11)$$

(2.10)式は船首尾波の干涉によるものである。

後の式は前に考えて境界条件を合せ考えれば結局

$$\mu(\pm l) = \frac{d}{dx} \mu(\pm l) = 0, \quad (2.11')$$

であれば、 F が消え從つて抵抗がなくなる事を示す。

此の様な μ は常に無数に無数に見出す事が出来るから、(2.7)から此に対応する圧力分布も又無数に存在する事になる。

その最も簡単な例を FIG. 1 に示す。

此の時(2.7)を積分すれば(2.11')から

$$\int_{-l}^l P(x) dx = K_0^2 \int_{-l}^l \mu(n\pi) dx, \quad (2.12)$$

であるから全圧力が有限である事をもつて示される。(3=2元の場合は此の事にならない。後節参照)

さて(2.11')が満足される場合は(2.8)から

$$F(K) = (K_0^2 - K^2) \phi(K), \quad \phi(K) = \int_{-l}^l \mu(n\pi) e^{-ikx} dx, \quad (2.13)$$

の標準形になつてゐる。

Hankelücke が考へた waveless system は⁵⁾

$$H(K) = (K - K_0) \phi(K), \quad \dots \quad (2.14)$$

の形であつて今考へたものと少し異なつていて、上に考へた形式は此の形に含まれてゐる。そこで(2.14)の形によつて少く考へて見よう。

さて複素面で水は半平面を含めてゐるとしよう。
水面の $(-l, l)$ の間で実の $P(x)$ 、その外では零の様な境界値をとる正則な函数 $P(z)$, $z = x + iy$, は

$$P(z) = \frac{1}{\pi i} \int_{-l}^l \frac{P(\xi)}{z - \xi} d\xi = \frac{1}{\pi} \int_0^\infty \ell H(K) e^{ikz} dK, \quad z \leq 0. \quad (2.15)$$

但し

$$H(K) = \int_{-l}^l P(\xi) e^{ik\xi} d\xi, \quad \dots \quad (2.16)$$

(2.14) を入れると $\psi(z)$ なる正則函数を導入すれば

$$P(z) = \frac{1}{\pi} \int_0^\infty (K - K_0) \phi(K) e^{-ikz} dK = i \frac{d\psi}{dz} - K_0 \psi(z), \quad \dots \quad (2.17)$$

但し

$$\psi(z) = \frac{1}{\pi} \int_0^\infty \phi(K) e^{-ikz} dK, \quad \dots \quad (2.18)$$

今 $\psi(-i\infty) = 0$ とおいて (2.17) をとけば

$$\psi(z) = -i e^{-ik_0 z} \int_{-i\infty}^z P(\xi) e^{ik_0 \xi} d\xi, \quad \Im\{z\} > \Im\{\xi\}, \quad (2.19)$$

従つて、若く $\psi(\pm\infty) = 0$ ならば

$$\psi(x) \xrightarrow{x \rightarrow \pm\infty} -i e^{-ik_0 x} \int_{-l}^l P(\xi) e^{ik_0 \xi} d\xi$$

であるから $H(K) = 0$ となつて waveless system である。

所で (2.17) を水面で考へよ。

$$\Re \left\{ \frac{d\psi}{dz} - K_0 \psi \right\}_{y=0} = \begin{cases} P(x), & -l > x > -l \\ 0, & x > l, x < -l, \end{cases} \quad \dots \quad (2.20)$$

であるから此れは ψ を基面変位と見れば、水面条件を満たしてゐる。従つて $\psi(\pm\infty) = 0$ と云う条件は後續論がないうと云う事を其の儘意味しているのである。

遂に $\psi(\pm\infty) = 0$ ならば常に ϕ が有限であるから、(2.17) によつて (2.14) が成立つかう。(2.14) は波がない為の必要充分条件と言える。

さて更にもう一度 (2.17) の微分方程式の隣伴形式によつて

$$\psi(z) = -i \frac{d}{dz} M(z) - M(z), \quad \dots \quad (2.21)$$

すると $M(z)$ を考へると (2.20) と組合せて

$$\Re \left\{ \frac{d}{dx} M(z) - K_0^2 M(z) \right\}_{y=0} = P(x), \quad \dots \quad (2.22)$$

となつて (2.7) の形となる。

又上述の車実から波なし系で考へて、(2.11') を満足する補正 $\mu(x)$ を境界函数として持つ函数 $M(z)$ は

$$M(z) = \frac{1}{\pi i} \int_{-l}^l \frac{\mu(\bar{z})}{z - \bar{z}} d\bar{z}, \quad \dots \quad (2.23)$$

と与えられるから、(2.21) は $\zeta > 0$ 水面変位 η は

$$\begin{aligned} \eta(x) &= R f - i \frac{\partial}{\partial z} M(z) - k_0 M(z) \\ &= R \frac{1}{\pi} \int_{-l}^l M(\bar{z}) d\bar{z} \left\{ \frac{1}{(z - \bar{z})^2} + \frac{i k_0}{z - \bar{z}} \right\} \\ &= -k_0 \mu(x) + P \cdot \frac{1}{\pi} \int_{-l}^l \frac{M(\bar{z})}{(x - \bar{z})^2} d\bar{z}, \quad \dots \quad (2.24) \end{aligned}$$

と与えられるから μ が与えられれば圧力分布は勿論表面変位も簡単に計算出来ることになる。又式を与えられた通りに因して解く車は ζ と P との間の積分方程式をとく車よりは簡単である。⁶⁾

3. 垂直船側面

次いで 3 次元の場合を考えるに先づ Kelvin 型の干渉によつて波を消す方式は船の不可解と思われる。¹¹⁾ そこで Hawecke 型のものが対象となるのであるがその前に準備として垂直船側面を考えると、その抵抗は

$$R = \frac{4PK_0^2}{\pi} \int_{-\frac{\pi}{2}}^{\frac{\pi}{2}} I_0^2 |\bar{F}(K_0 \sec \theta)|^2 \sec \theta d\theta, \quad \dots \quad (3.1)$$

$$I_0 = 1 - e^{-K_0 T \sec^2 \theta},$$

$$\bar{F}(p) = \int_{-l}^l \eta(x) e^{ipx} dx, \quad \dots \quad (3.2)$$

但しこれは船の半円、 T は吃水、船長は $2l$ であるとする。

I_0 は常に正であるから抵抗がなくなるには結局

$$\bar{F}(p) = \int_{-l}^l \eta(x) e^{ipx} dx = 0, \text{ for } p \geq K_0, \quad \dots \quad (3.3)$$

であれば充分である。

即ち (3.3) が成立すれば吃水が無限であつても、又没水であつても此の場合常に抵抗はない。

さて (3.3) のフーリエ変換をとれば

$$\eta(x) = \frac{1}{2\pi} \int_{-K_0}^{K_0} \bar{F}(p) e^{-ipx} dp, \quad \dots \quad (3.4)$$

となり、もし $\eta(x)$ が此の形に表わされるならばそのフーリエ変換 $\bar{F}(p)$ は $p = 0$ で (3.3) が成立して抵抗はない車になる。

$\bar{F}(p)$ 及びその級数係数が $(-K_0, K_0)$ の区间で有限且つ連續と仮定すれば

$$\gamma(x) \xrightarrow{x \rightarrow \infty} \frac{i}{2\pi x} [F(p)e^{-ipx}]_{k_0}^{k_0} + O\left(\frac{1}{x^2}\right), \quad \dots (3.5)$$

となるから $\gamma(x)$ が $|x| > 1$ の区间で恒等的に消えることは

$$F(\pm k_0) = \frac{d}{dp} F(\pm k_0) = \dots = 0$$

即ち

$$F(p) = 0, \text{ for } k_0 > p > -k_0, \quad \dots (3.6)$$

でなければならぬ。此の事は、右に対する制限を少しゆるめて積分可能で且つ逐次微係数が連續であるとして成立つたう。そうすると結局有限な長さの船では抵抗のないものはありえないと言ふ事になるし、又同じ(3.5)式から $\gamma(x)$ は必ず $e^{ik_0 x}$ 又は $\sin k_0 x$ の様な因子を含むから、 $\gamma(x)$ が零でない場合はのない船型不存在。

遂に $\gamma(x)$ を連續に無限にわたる分布とし、且つ必ずとも正で限らなければ(3.4)の形に表わせさえすれば抵抗はない。

例えば

$$F(p) = 2\sqrt{\pi} \frac{[\Gamma(\nu+1)]^2}{\Gamma(\nu+\frac{1}{2})} \left\{ 1 - \left(\frac{p}{k_0}\right)^2 \right\}^{\nu-\frac{1}{2}}, \quad \nu > -\frac{1}{2}, \quad \dots (3.7)$$

とおけば

$$\gamma(x) = k_0 \frac{\Gamma(\nu+1)}{\left(\frac{k_0 x}{2}\right)^\nu} J_\nu(k_0 x), \quad \dots (3.8)$$

$$\int_{-\infty}^{\infty} \gamma(x) dx = \Gamma(\nu+\frac{1}{2}) / 2\sqrt{\pi} \Gamma(\nu+1),$$

或いは

$$F(p) = P_{2n}\left(\frac{p}{k_0}\right), \quad \text{ルミヤントル函数}, \quad \dots (3.9)$$

とおけば

$$\gamma(x) = (-)^n \sqrt{\frac{k_0}{2\pi x}} J_{2n+\frac{1}{2}}(k_0 x), \quad \dots (3.10)$$

$$\int_{-\infty}^{\infty} \gamma(x) dx = \Gamma(n+\frac{1}{2}) / \sqrt{\pi} \Gamma(n+1),$$

等となる。特に前者は FIG. 3 に示す様に k_0 の大きい時はノを適当に選んで正負に波打つ部分を隨分小さくする事が出来る。又後者はその $(-\infty, \infty)$ で対称な直交函数系となるから、任意の函数を此の波のない系で近似する事が出来る事にある。従って複数を多くとれば、今まで取られた函数は近づくに付けても恒等的に等しくなる事はないから、抵抗は勿論消えなく、又変らない筈である。遂に船の外側で見れば、船に沿う様な船形を作つて、抵抗を半減すれば頂数を多くすればする程抵抗は小さくなるだろうが此の時の形が一定な所に収斂するとは考えられない。

4. 漸近解 壓力分布系

此の場合抵抗は⁸⁾

$$R = \frac{K_0^2}{\pi \rho} \int_0^{\frac{\pi}{2}} |\bar{F}(K_0 \sec \theta, \theta)|^2 \sec^5 \theta d\theta, \quad \dots \quad (4.1)$$

$$\bar{F}(K, \theta) = \iint p(x, y) e^{i(Kx \cos \theta + Ky \sin \theta)} dx dy = \iint p(r) e^{iKr \cos(\theta - \varphi)} r dr d\theta, \quad (4.2)$$

即ち \bar{F} は θ に無関係。

$$\bar{F}(K) = 2\pi \int_0^\infty p(r) J_0(Kr) r dr, \quad \dots \quad (4.3)$$

遂に

$$p(r) = \frac{1}{2\pi} \int_0^\infty \bar{F}(K) J_0(Kr) K dK, \quad \dots \quad (4.4)$$

抵抗が消えた場合には

$$\bar{F}(K) = 0 \quad \text{for } K \geq K_0, \quad \dots \quad (4.5)$$

で“なければ”ならなから

$$p(r) = \frac{1}{2\pi} \int_0^{K_0} \bar{F}(K) J_0(Kr) K dK, \quad \dots \quad (4.6)$$

の形の分布は常に近いほどある事が容易に判る。

例えは

$$p(r) = \frac{\sin \alpha r}{r}, \quad \alpha < K_0, \quad \dots \quad (4.7)$$

前節と殆ど同じ式が出て来るから、矢張此の場合と同じ論法で同じ結論が出て来る事は容易に判るだろ。

5. 矩形面上の圧力分布系

次いでもっと一般的に Havelock 型の分布について考えて見よう。

(4.1), (4.2) から 2 次元の場合同様

$$P(x, y) = \left\{ \frac{\partial^4}{\partial x^4} + K_0^2 \left(\frac{\partial^2}{\partial x^2} + \frac{\partial^2}{\partial y^2} \right) \right\} \mu(x, y), \quad \dots \quad (5.1)$$

となる様な $\mu(x, y)$ を考えて見よう。若し P が無限範囲の分布であつて、上式を満足する様な $\mu(x, y)$ のフーリエ変換が存在すれば

$$G(p, q) = \iint_{-\infty}^{\infty} \mu(x, y) e^{ipx + iqy} dx dy, \quad \dots \quad (5.2)$$

こうすれば (5.1) から

$$\bar{F}(p, q) = \iint_{-\infty}^{\infty} P(x, y) e^{ipx + iqy} dx dy = (p^4 - K_0^2 p^2 - K_0^2 q^2) G(p, q), \quad (5.3)$$

(4.1) と (4.2) において抵抗が零となる事は

$$\bar{F}(p, q) = 0, \quad \text{for } p^4 = K_0^2(p^2 + q^2), \quad \dots \quad (5.4)$$

従つて $\mu(x, y)$ が正則であれば此れに対応する圧力分布は常に波がない事になる。

更に μ が有限な範囲、今は x, y を矩形とする、に限らかでいるとすると部分積分によつて $P^x = k_0^{-2}(\rho^2 + g^2) \mu$ ならば

$$\begin{aligned} F(P, g) &= \int_b^b \left[\left\{ \left(\frac{\partial^3}{\partial x^3} - i\rho \frac{\partial^2}{\partial x^2} + (k_0^{-2} - \rho^2) \frac{\partial}{\partial x} + i\rho^3 \right) \mu \right\} e^{ipx} \right]_{x=-1}^{x=1} e^{igy} dy \\ &\quad + k_0^{-2} \int_{y=-b}^b \left[\left\{ \left(\frac{\partial^2}{\partial y^2} - ig \right) \mu \right\} e^{igy} \right]_{y=-b}^b e^{ipx} dx, \quad \dots \quad (5.5) \end{aligned}$$

となるべし。

$$\frac{\partial^3}{\partial x^3} \mu = \frac{\partial^2}{\partial x^2} \mu = \frac{\partial}{\partial x} \mu = 0, \quad \text{for } x = \pm 1, \quad \dots \quad (5.6)$$

$$\frac{\partial^2}{\partial y^2} \mu = \mu = 0, \quad \text{for } y = \pm b$$

ならば μ はない。或いは (5.1) の解と 1 つの $\mu(x, y)$ の境界値のみで抵抗値は定まる。

さて 2 節同様 (5.1) を調和函数 $\psi(x, y, z)$, $\mu(x, y)$ を複素値として持つ $M(x, y, z)$ を考えて分解して見よう。

$$P(x, y) = \left. \left(\frac{\partial^2}{\partial x^2} + k_0 \frac{\partial}{\partial z} \right) \left(\frac{\partial^2}{\partial x^2} - k_0 \frac{\partial}{\partial z} \right) M(x, y, z) \right|_{z=0}$$

$$P(x, y) = \left. \left(\frac{\partial^2}{\partial x^2} + k_0 \frac{\partial}{\partial z} \right) \psi(x, y, 0) \right., \quad \dots \quad (5.7)$$

$$\psi(x, y, 0) = \left. \left(\frac{\partial^2}{\partial x^2} - k_0 \frac{\partial}{\partial z} \right) M(x, y, 0) \right., \quad \dots \quad (5.8)$$

$$M(x, y, 0) = \mu(x, y),$$

此の上式は水面条件を現ゆていい。

即ち ψ は速度ポテンシャルの x に関する積分、従つて水面変位の双曲積分となるていい。

2 次元の場合と同様に若し μ が与えられれば此れから水面変位と圧力分布を計算する事は容易である。

さて最後にある分布系が波無しであるとすれば (5.6) から (5.1) を積分して

$$\iint P(x, y) dx dy = 0, \quad \dots \quad (5.9)$$

即ち全圧力の和は零である。

若し此の和が零じないものをおみたならばそれは前節の例の様なものになる事である。

6. ミッセル船型

次にミッセル船型(底面では 2 本の特異点分布の意味でこう呼ぶ)を考えよう。

$$R = \frac{4P^2}{\pi} \int_0^{\frac{\pi}{2}} |\bar{F}(k_0 \sec \theta, k_0 \sec \theta)|^2 \sec^5 \theta d\theta, \quad (6.1)$$

$$\bar{F}(k, p) = \iint \gamma(x, z) e^{kz - ipx} dx dz, \quad (6.2)$$

γ は半中とする。

付録 1 条件は

$$\bar{F}\left(\frac{p^2}{k_0}, p\right) = 0, \text{ for } p > k_0, \quad (6.3)$$

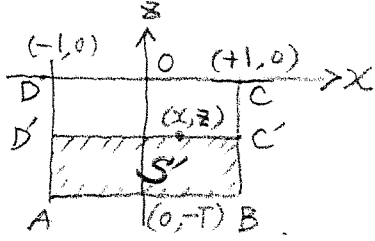
であるから前節同様

$$\gamma(x, z) = (k_0 \frac{\partial^2}{\partial z^2} - \frac{\partial^2}{\partial x^2}) \sigma(x, z), \quad (6.4)$$

なる式即ち一般化された熱伝導の方程式を書きよう。

こう書きると γ は熱流、 T は温度、 x は時間、 k_0 は熱伝導度と見做す事が出来る。

(6.4) の解は⁹⁾



$$\sigma(x, z) = \int_{BC+AD} \sigma(z, s) \frac{\partial T}{\partial z} ds + \iint_{S'} T \gamma(z, s) dz ds, \quad (6.5)$$

但し 境界条件は

$$\begin{aligned} \sigma(x, z) |_{AB} &= 0 \\ \frac{\partial \sigma}{\partial x} |_{AD, BC} &= 0 \end{aligned} \quad (6.6)$$

$$T = \frac{1}{2} \{ k_0 \pi (z - s) \}^{\frac{1}{2}} \exp \left\{ - \frac{k_0 (x - s)^2}{z - s} \right\},$$

となる。若く A B を無限に延長すれば

$$\sigma(x, z) = \iint_{S'} T \gamma(z, s) dz ds, \quad (6.5')$$

さて (6.2) をのべて書かず部分積分すれば

$$\bar{F}\left(\frac{p^2}{k_0}, p\right) = k_0 \int_{-1}^1 [\sigma e^{\frac{p^2 z}{k_0}}]_{z=-1}^0 e^{-ipx} dx - \int_{-1}^0 \left[(\frac{\partial \sigma}{\partial z} + ip\sigma) e^{-ipx} \right]_{z=-1}^{x=1} e^{\frac{p^2 z}{k_0}} dz,$$

(6.6) の境界条件を入れれば

$$\bar{F}\left(\frac{p^2}{k_0}, p\right) = k_0 \int_{-1}^1 \sigma(x, 0) e^{-ipx} dx - ip \int_{-1}^0 [\sigma e^{-ipx}]_{z=-1}^{x=1} e^{\frac{p^2 z}{k_0}} dz, \quad (6.7)$$

或いは (6.5') と対応して

$$\bar{F}\left(\frac{p^2}{k_0}, p\right) = k_0 \int_{-\infty}^{\infty} \sigma(x, 0) e^{-ipx} dx, \quad (6.8)$$

の様になつて矢張り σ の境界値によって抵抗が決まるつう。

又特徴的の式によれば抵抗がもとの分布に等しい体な $\sigma(x, 0)$ を常に求めれる事が出来る事である。

さて ではが消える事には (6.7) から (6.6) が合せて

$$\tilde{\sigma}(x, -T) = \tilde{\sigma}(x, 0) = \tilde{\sigma}(\pm l, z) = \frac{\partial}{\partial x} \tilde{\sigma}(\pm l, z) = 0, \quad (6.9)$$

であればよい。そして此の時 (6.4) を満足すれば

$$\int \int_{-T}^0 \eta(x, z) dx dz = k_0 \int_0^l \tilde{\sigma}(x, 0) dx = 0, \quad (6.10)$$

即ち排水量が零となる。その最も簡単な例を FIG. 4 に示した。又左の式の等式は (6.6) の境界条件は初めに密度零で両端から熱が逃げないと云ふ事であるから、当然總熱量の等式である。次に (6.8) の表現は (3.3) と同型式であるから 3 節の結論はすべて当たる。即ちのは無限にひいて且つ直の部分を持たなければ波は消えない。

次で η は (6.5') で表わされまつて T は常に正であるから、 η が正ならば η は正、従って η が直線をとらなければ η も直線をとりえず、従って波は消えないし、又 η が有限範囲分布ならば η の逐次微係数の中で不連續なモードが出て来ますから、それがどうか由て来る故 η も無限範囲の分布でなければならぬ。

さて排水量が零であつたとしても、FIG. 4 の様な波形の分布は非常に有用であろう。即ち此の様な波無し分布を幾つ重ね合わせても抵抗値は変らないから、抵抗が同じ値に保たれる様に可成自由に船型を変える事が出来る訳である。

7. 极小値問題

最後に造波抵抗の極小値問題を考えよう。

(6.1), (6.2) において (x, z) 点に集中して左右対称に ΔV だけの体積変化があつたとするとき、これによつて F は次の様に変る。

$$\Delta F = e^{\frac{Kz - iPx}{(\Delta \gamma \Delta x \Delta z)}} = \frac{\Delta V}{2} e^{\frac{Kz - iPx}{\Delta \gamma}},$$

よつて

$$\frac{\Delta R}{\Delta V} = G(x, z) = \frac{4 \rho g^4}{\pi} R \int_0^{\frac{\pi}{2}} F(K, p) e^{Kz + iPx} \cos^2 \theta d\theta, \quad \text{但し } K = K_0 \sin \theta, \quad p = K_0 \cos \theta$$

(6.2) から $\eta(x, z) = \eta(-x, z)$ ならば F は実数値をとるから

$$G(x, z) = \frac{4 \rho g^4}{\pi} \int_0^{\frac{\pi}{2}} F(K, p) e^{Kz + iPx} \cos^2 \theta d\theta, \quad (7.1)$$

一方排水量は

$$V = 2 \int_{-l}^l \eta(x, z) dx dz, \quad (7.2)$$

従つて排水量一定で R を極小にする問題はラグランジアンの方法による未定係数を入れとして、(7.2) の他に

$$G(x, z) = -\lambda, \quad (7.3)$$

の様な式が成立すればよい。

(7.1)を書き直せば

$$G(x, z) = \frac{4P}{\pi} \int_{K_0}^{\infty} F\left(\frac{p^2}{K_0}, p\right) e^{\frac{2p}{K_0} p^2} \cos px \frac{p^4 dp}{\sqrt{p^2 - K_0^2}}, \quad \dots (7.1')$$

となるが、せんかく常数に等しくなる事は、(3.6)を導いたのと同じ論法で

$$\lambda = 0, \quad F\left(\frac{p^2}{K_0}, p\right) = 0, \quad \dots (7.4)$$

以外にはありえないだろ。これがこれは(6.3)のちの説が消えまとまる条件である。

抵抗は明らかに負ではありえないから、これは確かに極小値である。

3節の最後に少しあれどが、造波抵抗は一般に云って特異点の不連續から生ずるものであるから、それを少くすればする程減ってまで最後に零に收斂して行く事は当然だとも考えらる。

然し實際にはある許容函数を遙々ばんど常に極小値が存在する(解が求まらない例もある)から此の問題を考える事は無意味ではない。

問題はむしろ許容函数の選びうであつて、例えはあまり高中の級数で近似する様な事は實際上からも、かえつて好ましくないと考えられる。

8. 附録

(3.7)を半円の若くは横切面積曲線の方程式とみなせば Taylor の標準系列のそれによく似た曲線群を得るので、以下少しき考案して見る。

(3.1), (3.2)において半円 $\gamma(x)$ の替りに横切面積 $A(x)$ を水を T として

$$\gamma(x) = \frac{A(x)}{2T} = \frac{A(x)}{2T} \left\{ 1 - \left(\frac{2x}{L} \right)^2 \right\}^{1-\frac{1}{\nu}}, \quad \nu > -\frac{1}{2}, \quad \dots (8.1)$$

A_{m} : 中央横切面積。

表中さへ垂直船側船を考えると、吃水があまり深くなれば元の船型と抵抗は殆ど変わらないと考えられる。

さうすると

$$F(\gamma_{\text{arc}} \theta) = \frac{L A_{\text{m}}}{2T} \int_0^1 (1 - \beta^2)^{\nu - \frac{1}{2}} e^{i \gamma_{\text{arc}} \theta} d\beta = F(0) A_{\nu}(\gamma_{\text{arc}} \theta) = F(0) \frac{(2\nu+1) J_{\nu}(\gamma_{\text{arc}} \theta)}{\left(\frac{\gamma_{\text{arc}} \theta}{2} \right)^{\nu}}$$

但し $F(0) = \frac{1}{T} \int_{-\frac{L}{2}}^{\frac{L}{2}} A(x) dx = \frac{\nabla}{2T} = \frac{L A_{\text{m}}}{2T} C_p, \quad \dots (8.2)$

$$C_p = \frac{\nabla}{L A_{\text{m}}} = \sqrt{\pi} P(\nu + \frac{1}{2}) / 2 \tilde{P}(\nu + 1),$$

$$\gamma = \gamma_{\text{arc}} / 2 \nu^2, \quad \nabla: 排水容積$$

故に (3.1) から

$$\frac{R}{PgV} = \frac{8\gamma^3}{\pi} \left(\frac{V}{L^3} \right) \int_0^{\frac{\pi}{2}} \left(\frac{1 - e^{-KoT \sec^2 \theta}}{KoT} \right)^2 J_{\nu}^2(\sec \theta) \sec \theta d\theta \quad (8.3)$$

此處で $\left(\frac{1 - e^{-KoT \sec^2 \theta}}{KoT} \right)^2$

$$\begin{aligned} &\xrightarrow[KoT \ll 1]{ } \sec^4 \theta (1 - KoT \sec^2 \theta + \dots) \\ &\xrightarrow[KoT \gg 1]{ } \frac{1}{(KoT)^2} + \dots \end{aligned} \quad \left. \right\} - (8.4)$$

吃水があまり深くなく、造波抵抗が向進にならざる速度では普通前者の式が最も当たる。又此の値は常に < 1 より小さくなる。次に ν が充分大きくなり ν よりも又大きい場合は

$$J_{\nu}(x) \xrightarrow{x \rightarrow \infty} \frac{2P(\nu+1)}{\sqrt{\pi} \left(\frac{x}{2} \right)^{\nu+\frac{1}{2}}} \cos(x - \frac{\nu}{2}\pi - \frac{\pi}{4})$$

であるから上式に入れて定常点波を使えば

$$\frac{R}{PgV} \xrightarrow{\nu \rightarrow \infty} \frac{8}{\pi} \left(\frac{V}{L^3} \right) \frac{P(2\nu+1)}{\nu^{2\nu-2}} \left(\frac{1 - e^{-KoT}}{KoT} \right)^2 \left\{ 1 + \frac{\sqrt{\pi}}{2\pi C_p} \sin(2\theta + \frac{\pi}{4} - \nu\pi) \right\}$$

$$\nu > 1, \text{ 或いは } (C_p < 1.786) \quad \dots \quad (8.5)$$

此の式によつて見れば、 ν は (8.2) の最後の式から C_p の函数であるから単位排水量当たりの抵抗は (V/L^3) , T , C_p の 3 つの要素の比較的簡単な函数である。

即ち単位排水量当たりの抵抗は (V/L^3) に比例し、吃水が深ければ小さくなる。又 C_p は ν が 1 より大きくなると増加する。

$$P(2\nu+1)/\nu^{2\nu-2} \xrightarrow{\nu \gg 1} 8\pi\nu^{\frac{3}{2}} e^{-\nu} \left(\frac{2\nu}{\nu} \right)^{2\nu-2}$$

だから $\nu > 2\nu$ ならば一定速度において、 ν が大きくなれば (C_p が小さくなれば) 急激に抵抗は小さくなれるが $2\nu > \nu$ となるば逆に大きくなり始める。即ち抵抗最小の C_p がある。もつとも此の C_p の値はあまり実際的全値ではないが定性的には事実に合致する次である。

次にハムフ、ホロウ即ち (8.5) の中括弧の中の 2 番目は ν の抵抗速度である。

$$\begin{aligned} \text{ハムフ} ; \quad 2\nu - \nu\pi &= (2n + \frac{1}{4})\pi, \quad n: \text{整数} \\ \text{ホロウ} ; \quad 2\nu - \nu\pi &= (2n - \frac{3}{4})\pi, \quad " \end{aligned} \quad \left. \right\} (8.6)$$

の様に与えられて ν (従つて C_p) によって位相がずれる様子がよく判る。又此の値の絶対値はフルード数に比例し C_p に逆比例する。例えば伴進で C_p の大きい船はハムフ、ホロウが小さいと云う次である。

以上の不純に此の概念を簡略化モデルから系統試験結果を

少くとも定性的には可成うよく表現出来る。

FIG. 2 は C_d と C_p の関係を示し、此のグラフから Taylor の系列に該当する C_p の値に対する C_d を読み取って (8.1) の横切面積を FIG. 4 に実線で描き、これに対応する Taylor 系列のものを点線で示した。¹⁰⁾ 後半部のみを描き込んだのが肥えた船型ではむろ前半の方がよく一致する様に見える。

9. 結論

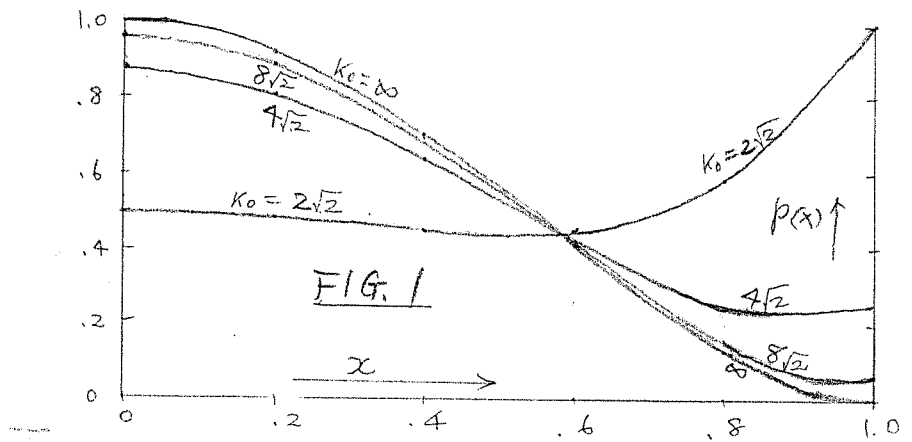
以上要約すれば

- i) 2 次元圧力分布では常に全圧有限で、負圧にならない、即ちの左の分布がある。
- ii) 3 次元問題では
- iii) 進波抵抗の極小値は零である。
- iv) 船が負に存在する車を許せば、抵抗の左の系が進波に考慮されるが、此の時船長が有限ならば排水量は零である。
- v) 左) 排水量を有限に保つならば船長は無限大となる。
- vi) 上の車は圧力分布につれて全く同じである。

以上

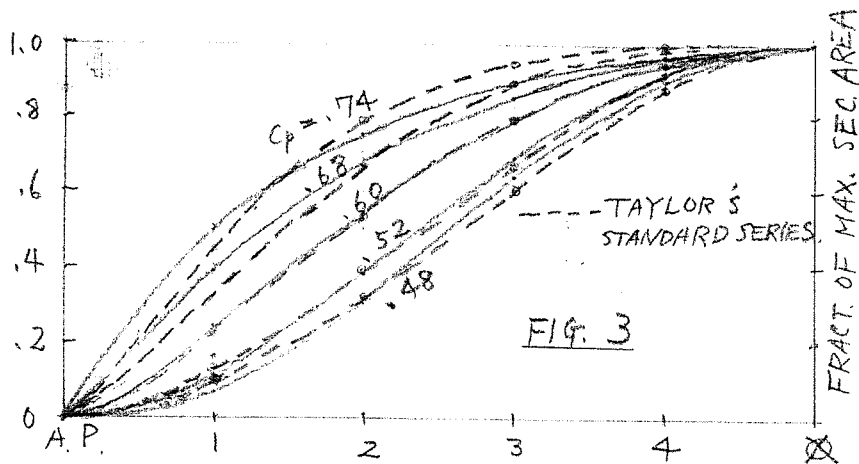
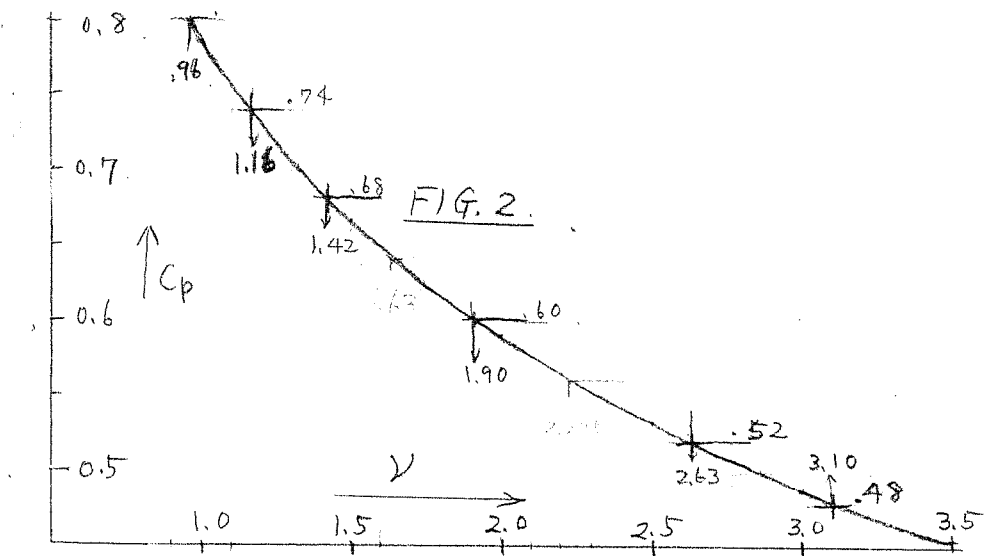
(註)

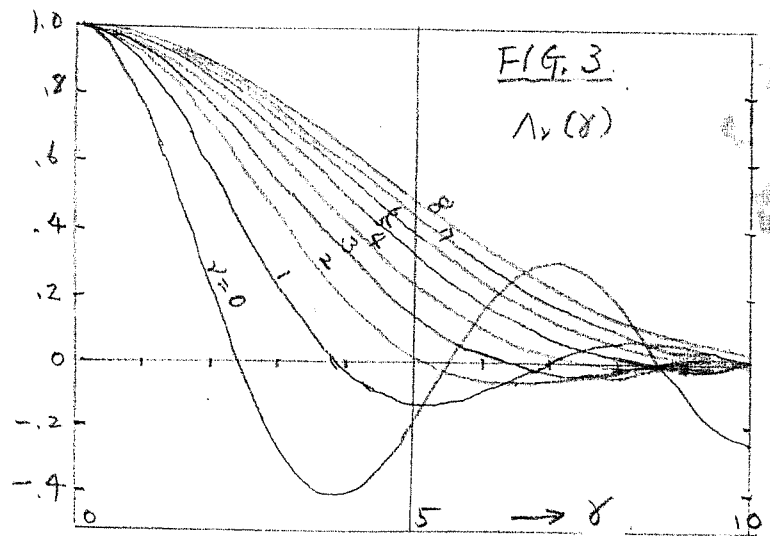
- 1) G. Weinblum und anders; *Jahrb. d. Schiffbau. Ges.* (1957)
- 2) 著者未刊パニーレット、防衛省研究課水槽実験室による計算による。
- 3) 乾他; 造船協会講演会発表予定昭和 35 年秋。
- 4) W. Thomson; *Math. and Physical Papers* vol. 4, p. 387 (1910)
- 5) T. H. Havelock; *P. R. S.* vol. 93 (1917)
- 6) 著者; "定常進波抵抗理論について" (第 3 章) (未完)
- 7) E. C. Titchmarsh; "Introduction to the Theory of Fourier Integrals" 2nd. Ed. p. 352 (1948).
- 8) T. H. Havelock; *P. R. S.* vol. 138 (1932)
- 9) H. Bateman; "Partial differential equation of mathematical Physics" p. 129 (1932)
- 10) D. W. Taylor; "Speed and Power of Ships" (1933)
- 11) T. H. Havelock; *P. R. S.* vol. 95 (1919)



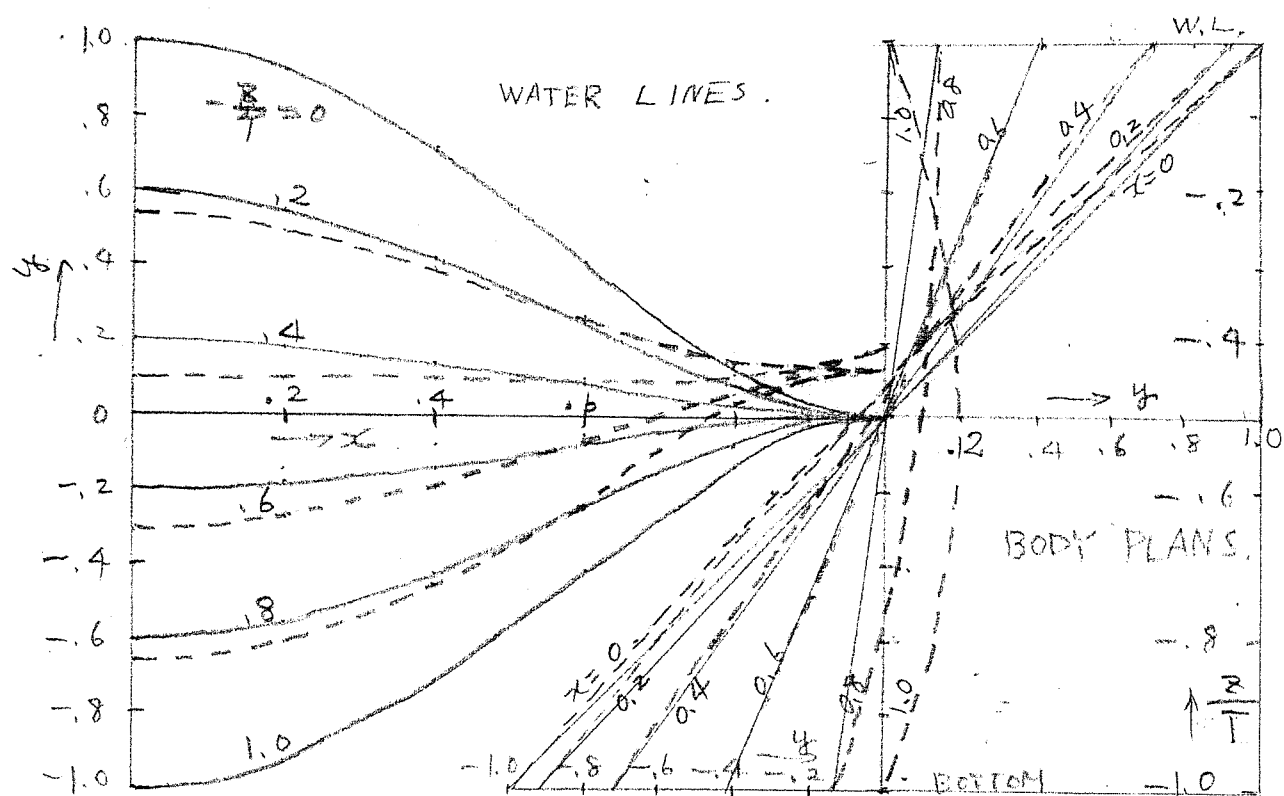
$$\mu(x) = \frac{1}{K_0^2} (1-x^2)^2$$

$$\rho(x) = (1-x^2)^2 + \frac{4}{K_0^2} (3x^2-1),$$





$$\Lambda_\nu(\gamma) = \frac{\Gamma(\nu+1)}{(\frac{\gamma}{2})^\nu} J_\nu(\gamma),$$



DOTTED LINE $\gamma = 1.$, $\frac{T}{L} = 20$
 FULL LINE $\gamma = \infty$,

$$\text{FIG. 4. } \sigma(x, z) = \frac{1}{8}(1-x^2)^2 z \left(1 + \frac{z}{T}\right),$$

$$\eta(z) = (1-x^2)^2 \left(1 + \frac{2z}{T}\right) + \frac{4}{8} z \left(1 + \frac{z}{T}\right) (1-3x^2),$$